

**МЕХАНИКА
ЖИДКОСТИ И ГАЗА**
№ 5 • 1990

УДК 533.6.011.8

© 1990 г.

А. Л. ИТКИН, Е. Г. КОЛЕСНИЧЕНКО

**РАСЧЕТ ТЕЧЕНИЙ КОНДЕНСИРУЮЩЕГОСЯ ПАРА НА ОСНОВЕ
МОНОМОЛЕКУЛЯРНОЙ МОДЕЛИ КОНДЕНСАЦИИ**

Большинство современных методов расчета течений с неравновесной конденсацией основано на различных процедурах интегрирования кинетического уравнения для функции распределения кластеров по размерам, полученного в [1]. Входящие в него скорость образования зародышей новой фазы и скорость роста определяются по формулам классической теории нуклеации и формуле Герца – Кнудсена (см. обзор [2]) или их модификациям.

К настоящему моменту накоплен ряд экспериментальных фактов, которые не удается объяснить в рамках этой схемы. Сюда относится рост критического пересыщения конденсирующегося пара с увеличением давления газа-носителя [3], аномально высокие переохлаждения паров воды в области высоких температур и давлений [4], аномальные значения пересыщения аммиака, фреона-11, хлороформа [5], наличие характерных экстремумов у функции распределения паров свинца [6] и ряд других.

Попытки преодолеть эти трудности привели ряд авторов к необходимости отказаться от классической теории и рассматривать образование, рост до- и закритических кластеров единым образом в рамках квазихимической модели. В частности, в [7, 8] были получены аналитические решения уравнений этой модели, которые использовались для расчета течений конденсирующегося водяного пара в соплах. Оказалось, что последовательное применение квазихимической модели не приводит к улучшению согласия расчетных и экспериментальных данных. Это побудило авторов [7, 8] заняться исследованием вопроса об адекватности самой квазихимической модели. Была предложена мономолекулярная модель конденсации [9]. С ее помощью удалось качественно объяснить ряд описанных выше эффектов [9, 10] и показать, что для малых кластеров уравнения квазихимической модели перестают быть справедливыми. Обобщение этих результатов для многоатомного газа выявило ряд дополнительных режимов, когда даже для больших кластеров константы скорости образования и распада кластеров сложным образом зависят от заселенности энергетических состояний мономера или являются двухтемпературными.

Вместе с тем в [9] рассмотрены лишь пространственно однородные системы. Данная работа посвящена обобщению предложенного подхода на пространственно неоднородный случай и разработке на его основе алгоритма расчета течений конденсирующегося пара.

1. Метод квазистационарного состояния. Основные особенности предлагаемого метода рассмотрим на примере простейшего одномерного стационарного сверхзвукового течения газа вдоль трубы тока. Будем считать конденсирующийся пар смесью идеальных газов молекул и кластеров, имеющих единую скорость u и поступательно-вращательную температуру T . Основные уравнения газовой динамики, характеризующие течение всей смеси в целом вдоль трубы тока, запишем в виде

$$\begin{aligned} dA/d\xi &= B, \quad A = (Q, G, E), \quad B = (0, PdF/d\xi, 0) \\ Q &= \rho u F, \quad G = (P + \rho u^2) F, \quad E = u^2/2 + h \end{aligned} \tag{1.1}$$

Уравнения (1.1) есть соответственно уравнения неразрывности, движения и энергии, ξ – продольная координата, F – площадь трубы тока, ρ , u , P , h – плотность, скорость, давление и энтальпия смеси. Их необходимо дополнить уравнением состояния и выражением для удельной эн-

тальпии смеси

$$P = \rho RT \sum_{j=1}^N \frac{\alpha_j}{\mu_j}, \quad h = \sum_{j=1}^N \sum_{k=0}^{M_j} \alpha_j(k) h_j(k) \quad (1.2)$$

$$\alpha_j(k) = jmx_j(k)/\rho, \quad \alpha_j = \sum_{k=0}^{M_j} \alpha_j(k)$$

где $\alpha_j(k)$ — массовая доля кластеров j -го размера с внутренней энергией $E_j(k)$ в смеси, $\mu_j = j\mu_1$ — их молекулярный вес, m — масса мономера, $h_j(k)$ — удельная энталпия соответствующего газа кластеров, α_j — массовая концентрация, $x_j(k)$ — заселенность энергетического состояния k в кластере размера j , R — универсальная газовая постоянная.

Для замыкания (1.1)–(1.2) выпишем кинетические уравнения, описывающие эволюцию $\alpha_j(k)$ вдоль линии тока вследствие процессов конденсации и релаксации колебательной энергии кластеров

$$u \frac{d\alpha_j(k)}{d\xi} = \sum_{i=0}^{M_1} \left[j \sum_{l=0}^{M_{j-1}} I_{j-1}(l, i | k) - j \sum_{l=0}^{M_{j+1}} I_j(k, i | l) (1 - \delta_{jN}) + \right. \\ \left. + \sum_{l=0}^{M_j} \sum_{v=0}^{M_1} J_j(l, i | k, v) \right], \quad j=2 \dots N, \quad k=0 \dots M_j \quad (1.3)$$

$$u \frac{d\alpha_1(k)}{d\xi} = - \sum_{j=1}^{N-1} \sum_{i=0}^{M_{j+1}} \sum_{l=0}^{M_j} I_j(l, k | i) (1 + \delta_{j1} \delta_{lk}) - \\ - \sum_{j=1}^N \sum_{i=0}^{M_j} \sum_{l=0}^{M_j} \sum_{v=0}^{M_1} J_j(l, k | i, v) (1 + \delta_{j1} \delta_{lk}), \quad k=0, \dots M_1$$

$$I_{j-1}(l, i | k) = \frac{C_{j-1}(l, i | k) \alpha_{j-1}^*(l) \alpha_i^*(i) \rho}{m(j-1)} - \frac{E_j(k | i, l) \alpha_j^*(k)}{j}$$

$$J_j(l, i | k, v) = [R_j(l, i | k, v) \alpha_j^*(l) \alpha_i^*(i) - R_j(k, v | l, i) \alpha_j^*(k) \alpha_i^*(v)] \frac{\rho}{m_j}$$

$$\alpha_j^*(k) = \frac{\alpha_j(k)}{s_j(k)}$$

Здесь t — время, $C_{j-1}(l, i | k)$ — константа скорости образования кластера размера j с энергией $E_j(k)$ из кластера размера $j-1$ с энергией $E_{j-1}(l)$ путем присоединения мономера с энергией $E_1(i)$, $E_j(k, | l, i)$ — константа скорости распада кластера размера j с энергией $E_j(k)$ на кластер размера $(j-1)$ с энергией $E_{j-1}(l)$ и мономер с энергией $E_1(i)$; $R_j(l, i | k, v)$ — константа скорости релаксации кластера размера j из состояния с энергией $E_j(l)$ в состояние с энергией $E_j(k)$ с одновременной релаксацией мономера из состояния с энергией $E_1(i)$ в состояние с энергией $E_1(v)$; M_j — номер последнего энергетического уровня кластера размера j , $s_j(k)$ — статистический вес k -го состояния кластера размера j . В дальнейшем индекс у M будем опускать, так как он понятен из контекста.

При выводе (1.3) пренебрегалось возможностью образования (распада) кластера путем присоединения (отрыва) димера, тримера и т. д., а также тройными столкновениями. Кроме того, в (1.3) уже учтен закон

сохранения полного числа молекул в системе

$$\sum_{j=1}^N \sum_{k=0}^{M_j} \alpha_j(k) = 1$$

Заметим, что входящие в (1.1)–(1.3) величины ρ , u , P , T следует считать функциями зависимых переменных Q , G , E и $\alpha_j(k)$, $j=1\dots N$, $k=0\dots M_j$, а не наоборот, как это обычно принято. Удобство такого представления будет понятно в дальнейшем.

Система (1.2) крайне сложна для решения ввиду ее большой размерности и отсутствия данных по многим константам скоростей. Ее можно упростить, используя метод квазистационарного состояния, развитый в [9]. Суть этого метода состоит в выделении в (1.1)–(1.3) быстрых и медленных переменных и нахождении квазистационарных состояний, в которых быстрые переменные зависят от времени лишь неявно вследствие их зависимости от медленных переменных. Для конкретной его реализации преобразуем (1.1)–(1.3) к виду

$$\begin{aligned} \lambda \frac{d \ln Q}{d\xi} &= 0, \quad \lambda \frac{d \ln E}{d\xi} = 0 \\ \lambda \frac{d \ln G}{d\xi} &= \lambda \left[\frac{P}{(P+\rho u^2)} \right] \frac{d \ln F}{d\xi} = \gamma(Q, G, E, \alpha_1(k), \dots, \alpha_N(k)) \\ \lambda \frac{d \ln \alpha_j(k)}{d\xi} &= \sum_{i=0}^{M_1} \left[\sum_{l=0}^{M_{j-1}} I_{j-1}^*(l, i | k) - \sum_{l=0}^{M_{j+1}} I_j^*(k, i | l) (1-\delta_{jN}) + \right. \\ &\quad \left. + \sum_{l=0}^{M_j} \sum_{v=0}^{M_1} J_j^*(l, i | k, v) \right], \quad j=2\dots N, \quad k=0\dots M_j \\ \lambda \frac{d \ln \alpha_1(k)}{d\xi} &= - \sum_{j=1}^{N-1} \sum_{i=0}^{M_{j+1}} \sum_{l=0}^{M_j} I_j^*(l, k | i) (1+\delta_{j1}\delta_{lk}) - \\ &\quad - \sum_{j=1}^N \sum_{i=0}^{M_j} \sum_{l=0}^{M_j} \sum_{v=0}^{M_1} J_j^*(l, k | i, v) (1+\delta_{j1}\delta_{lk}), \quad k=0\dots M_1 \\ I_{j-1}^*(l, i | k) &= \frac{E_j(k | i, l)}{K \alpha_{je}(k)} [\alpha_{j-1}(l) \alpha_i^+(i) - \alpha_j^+(k)] \\ J_j^*(l, i | k, v) &= \frac{R_j(k, v | l, i) z_j(v)}{K \alpha_j^+(k)} [\alpha_j^+(l) \alpha_i^+(i) - \alpha_j^+(k) \alpha_i^+(v)] \\ \alpha_j^+(k) &= \frac{\alpha_j(k)}{\alpha_{je}(k)} \end{aligned} \tag{1.4}$$

где $\lambda=u/Kn_{je}$ – характерная длина, $\alpha_{je}(k)$ – равновесная функция распределения [11], $z_j(k)$ – Больцмановский фактор k -го уровня, K – свободноМолекулярный поток на единицу поверхности. Как уже отмечалось выше, $I=I(Q, G, E, \alpha_1(k), \dots, \alpha_N(k))$, $J=J(Q, G, E, \alpha_1(k), \dots, \alpha_N(k))$, $k=0\dots M$.

Если исключить из рассмотрения трансзвуковые течения, то на основании оценок [8] для обычно реализуемых в соплах и струях градиентах $\gamma \ll 1$. Дополнительно предположим, что скорость релаксации мономеров (скорость VRT обмена) существенно выше скорости димеризации (другие

случаи в этой работе рассматриваться не будут). Тогда, используя подход [9], можно показать, что быстрыми переменными являются все заселенности $\alpha_j(k)$, $k=1\dots M$, $j=2\dots N$, а медленными — Q , G , E , $\alpha_1, \dots, \alpha_N$ (напомним, что α_j в отличие от $\alpha_j(k)$ обозначает концентрацию кластеров j -го размера).

В нулевом приближении по малым параметрам на характерных временах эволюции медленных переменных (1.4) принимает вид

$$\begin{aligned} \lambda \frac{d \ln Q}{d\xi} &= 0, \quad \lambda \frac{d \ln G}{d\xi} = \gamma(Q, G, E, \alpha_1, \dots, \alpha_N), \quad \lambda \frac{d \ln E}{d\xi} = 0 \\ \lambda \frac{d\alpha_1}{d\xi} &= - \sum_{j=2}^N \lambda \frac{d\alpha_j}{d\xi}, \quad \lambda \frac{d\alpha_j}{d\xi} = (W_j^{(2)} - d_j W_r^{(3)}) j \omega, \quad j=2\dots r-1 \\ \lambda \frac{d\alpha_r}{d\xi} &= -r \omega (B_1 W_{r+1}^{(1)} + B_2 W_{r+1}^{(4)}) \\ \lambda \frac{d\alpha_{r+1}}{d\xi} &= \omega(r+1) (W_r^{(3)} - W_{r+2}^{(1)}) - \lambda \frac{d\alpha_r}{d\xi}, \quad \lambda \frac{d\alpha_j}{d\xi} = j \omega [W_j^{(1)} - W_{j+1}^{(1)} (1 - \delta_{jN})] \\ \omega &= \frac{m K n_{je}}{\rho u}, \quad W_j^{(1)} = K_j^+ n_{j-1} n_i - K_j^- n_j, \quad W_j^{(2)} = L_j^+ n_i^{j+1} - L_j^- n_j n_i, \quad n_j = \frac{\rho \alpha_j}{m} \end{aligned} \quad (1.5)$$

Здесь через $W_j^{(1)}$ и $W_j^{(2)}$ обозначены токи, а через $W_j^{(3)}$ и $W_j^{(4)}$ — линейные комбинации этих токов (выражения для них приведены в [9]). Коэффициенты K_j^+ , L_j^+ и K_j^- , L_j^- — неравновесные константы скорости образования и распада кластеров, зависящие не только от температуры T , но и от n_i , $x_1(1), \dots, x_1(M)$. Выражения для коэффициентов $B_1=B_1(\xi)$, $B_2=B_2(\xi)$, $d_j=d_j(\xi)$, $\xi=(T, n_i, x_1(1), \dots, x_1(M))$ и расшифровка всех остальных коэффициентов приведены в [9]. Удобство записи (1.5) заключается в том, что в равновесии $W_j^{(i)}$, $i=1, \dots, 4$, обращаются в ноль.

В (1.5) r — номер, такой, что при $j>r$ конденсация не успевает возмущать равновесное распределение кластеров по внутренним степеням свободы, а при $j<r$ релаксация не успевает восстанавливать равновесное распределение [9]. Входящие в (1.5) параметры ρ , u , T , P являются функциями медленных переменных, так же как и квазистационарные значения заселенностей $\alpha_j(k)$.

2. Асимптотический метод решения. Система (1.5) существенно проще, чем (1.3), однако и она трудна для непосредственного решения. Поэтому, следуя идее [7, 8], сделаем нелинейную замену переменных $\alpha_1 \dots \alpha_N \Rightarrow \alpha_1, f_1 \dots f_{N-1}$, где

$$\begin{aligned} f_j &= \frac{\alpha_{j+1}^+}{(\alpha_1^+)^{j+1}}, \quad j=1\dots r-1, \quad f_j = \frac{\alpha_{j+1}^+}{\alpha_1^+ \alpha_j^+}, \quad j=r\dots N-1 \\ \alpha_j^+ &= \frac{\alpha_j}{\alpha_{je}} \equiv \frac{n_j}{n_{je}} \end{aligned} \quad (2.1)$$

Здесь $\alpha_i=S$ — пересыщение. Переменные f_j в точности совпадают с аналогичными переменными, введенными в [9]. Однако теперь $\alpha_{je}=\alpha_{je}(\rho, T)$, а T и ρ в свою очередь зависят от Q , G , E , $\alpha_1 \dots \alpha_N$.

Используя (2.1), из (1.5) по аналогии с [9] имеем

$$\begin{aligned} \frac{d \ln Q}{d\tau} &= 0, \quad \frac{d \ln G}{d\tau} = \gamma(Q, G, E, \alpha_1, f_1 \dots f_{N-1}), \quad \frac{d \ln E}{d\tau} = 0 \\ \frac{df_j}{d\tau} &= Y_j - \left[(j+1) \frac{d \ln \alpha_1}{d\tau} + A_{ij} \right] f_j, \quad j=1\dots r \end{aligned}$$

$$\begin{aligned}
\frac{df_r}{d\tau} &= Y_r - \frac{f_r}{f_{r-1}} Y_{r-1} - \left[\frac{d \ln \alpha_1}{d\tau} - A_{2r} \right] f_r \\
\frac{df_j}{d\tau} &= R(f_j) - \left[\frac{d \ln \alpha_1}{d\tau} - A_{2j} \right] f_j + \mu_j, \quad j=r+1 \dots N-1 \\
\alpha_{1e}^{-1} \frac{d\alpha_1}{d\tau} &= - \sum_{j=r+2}^N K_j^* S^{j+1} \beta_{j-1} (1-f_{j-1}) \prod_{i=r-1}^{j-1} f_i - \sum_{j=2}^r j \beta_j S^j Y_{j-1} + \\
&\quad + (r+1) \beta_{r+1} S^{r+1} f_{r-1} Y_r \\
\frac{d}{d\tau} &= \lambda \frac{d}{d\xi}, \quad K^* = \frac{K_j^+}{K}, \quad \beta_j = \frac{n_{je}}{n_{1e}} \\
A_{1j} &= \frac{d \ln (\alpha_{1e}^{j+1} / \alpha_{je})}{(j+1)d\tau}, \quad A_{2j} = \frac{d \ln (\alpha_{1e} \alpha_{je} / \alpha_{j+1,e})}{d\tau}
\end{aligned} \tag{2.2}$$

Выражения для $R(f_j)$ и μ_j приведены в 7, 8, а Y_j в дальнейшем не понадобятся.

Если члены A_{1j} и A_{2j} имеют тот же порядок величины, что и $d \ln \alpha_1/d\tau$, то к системе (2.3) непосредственно применим метод решения, развитый в [11]. Покажем, что это действительно так. Поскольку $\alpha_{je} = m_j n_{je}(T)/\rho$

$$\begin{aligned}
A_1 &= \frac{j}{j+1} \frac{d \ln \rho}{d\tau} + \frac{d \ln (n_{1e}^{j+1} / n_{je})}{(j+1)dT} \frac{d \ln T}{d\tau} \\
A_2 &= \frac{d \ln (n_{je} n_{1e} / n_{j+1,e})}{dT} \frac{dT}{d\tau} - \frac{d \ln \rho}{d\tau}
\end{aligned}$$

Из [8] с использованием явного вида равновесной функции распределения [11] следует, что

$$\begin{aligned}
\frac{d \ln (n_{1e}^{j+1} / n_{je})}{(j+1)d\tau} \frac{dT}{d\tau} &= \left[\frac{L\mu_1}{RT} - 1 + T j^{-\frac{1}{3}} \frac{\partial b}{\partial T} \right] \frac{d \ln T}{d\tau} \\
\frac{d \ln (n_{je} n_{1e} / n_{j+1,e})}{d\tau} \frac{dT}{d\tau} &= \left[\frac{L\mu_1}{RT} - 1 - \frac{2b j^{-\frac{1}{3}}}{3} \right] \frac{d \ln T}{d\tau}
\end{aligned} \tag{2.3}$$

Здесь $b j^{-\frac{1}{3}}$ — безразмерная поверхностная энергия кластера размера j , L — удельная теплота конденсации. Можно показать, что величины, стоящие в (2.3) в квадратных скобках, ограничены (для воды при $T=400$ К $L\mu_1/RT \approx 12$, $b \approx 4,5$), поэтому A_1 и A_2 имеют такой же порядок величины, что и $d \ln \rho/d\tau$, $d \ln T/d\tau$. Эти же величины в силу соотношения

$$\frac{d \ln \Psi}{d\tau} = \frac{\partial \ln \Psi}{\partial Q} \frac{dQ}{d\tau} + \frac{\partial \ln \Psi}{\partial G} \frac{dG}{d\tau} + \frac{\partial \ln \Psi}{\partial E} \frac{dE}{d\tau} + \sum_{j=1}^N \frac{\partial \ln \Psi}{\partial \alpha_j} \frac{d\alpha_j}{d\tau}$$

где Ψ принимает значения ρ и T , и уравнений (1.5) имеют порядок величины $d \ln \alpha_i/d\tau$. В свою очередь можно показать, что $d\alpha_j/d\tau \ll \beta_j \ll d\alpha_i/d\tau$.

Таким образом, можно непосредственно использовать результаты работы [9], где показано, что процесс конденсации разбивается на два этапа. Первый из них соответствует случаю, когда $j_+ = (b/\ln S)^{\frac{1}{3}} > r$. Тогда $\alpha_1, f_{i+1} \dots f_{N-2}, Q, G, E$ являются медленными переменными, а $f_1 \dots f_i$ — быстрыми ($i = (1/e)^{\frac{1}{3}}$, где $e \ll 1$). Решение (2.2) для быстрых переменных на характерных временах изменения медленных переменных имеет вид

$$f_1 = f_2 = \dots = f_k = f_{N-1} = 1, \quad f_j = [1 - (b/3j^{\frac{1}{3}})] \exp [-\ln S + 2b/3j^{\frac{1}{3}}], \quad j=k+1 \dots i$$

где $k=j_+/27$. Для медленных переменных имеем систему уравнений

$$\begin{aligned} \frac{d \ln Q}{d \tau} &= 0, \quad \frac{d \ln G}{d \tau} = \gamma(Q, G, E, \alpha_1, f_{i+1} \dots f_{N-2}), \quad \frac{d \ln E}{d \tau} = 0 \\ \frac{df_j}{d\tau} &= R(f_j) - \left[\frac{d \ln \alpha_1}{d \tau} - A_{2j} \right] f_j, \quad j=i+1 \dots N-2 \\ \alpha_{1e}^{-1} \frac{d\alpha_1}{d\tau} &= - \frac{S^{x+1} \beta_x K_{x+1}^* b}{9(x-1)^{4/3}}, \quad x=1+\max(r, k). \end{aligned}$$

Другой случай соответствует ситуации $j_+ < r$, так как при этом α_1 , а следовательно, и f_j , $j=i+1 \dots N-2$, становятся быстрыми переменными. Если интересоваться квазистационарными решениями на характерных временах изменения медленных переменных Q, G, E , то получающиеся для последних уравнения отличаются от (2.4) лишь заменой дифференциального уравнения для α_1 соотношением $S=1$. Таким образом, при переходе точки k , где $j_+=r$, за сравнительно короткое время τ_1 происходит резкое изменение пересыщения от значения S_k до единицы, т. е. происходит скачок конденсации. Точка k называется в литературе точкой Вильсона. Величина τ_1 — характерное время изменения Q, G или E .

Если же интересоваться эволюцией всех параметров на характерных временах изменения α_1 , то при достижении точки Вильсона далее необходимо решать уравнения (2.2) для $\alpha_1, f_1 \dots f_{N-1}$. Значения Q, G, E при этом не меняются и остаются равными их значениям в точке Вильсона. Нетрудно убедиться, что из этого условия вытекают соотношения $T \approx \text{const}$, $u \approx \text{const}$, $P \approx 1/F$, $\rho \approx 1/F$.

Поскольку при $S \Rightarrow 1$ j_+ возрастает, такое решение будет справедливо вплоть до того момента, пока j_+ вновь не станет больше r , а α_1 соответственно — медленной переменной. Отметим, что подобные процессы подробно изучены в теории релаксационных колебаний [12].

3. Алгоритм численного решения. Для построения алгоритма численного решения системы (2.4) конкретизируем входящие в нее зависимости $h_j(k)$ и $\alpha_j(k)$ от искомых медленных переменных. В силу полученного в разд. 1 квазистационарного решения для $\alpha_j(k)$ справедливо представление (3.1)

$$\begin{aligned} \alpha_1(k) &= \alpha_1 z_1(k) s_1(k), \quad \alpha_j(k) = \alpha_{je} s_j(k) z_j(k) S^j, \quad j=2 \dots r \\ \alpha_j(k) &= \alpha_j z_j(k) s_j(k), \quad j=r+1 \dots N, \quad k=0 \dots M_j \\ h = \sum_{j=1}^N \sum_{k=0}^M \alpha_j(k) h_j(k) &= \sum_{j,k} \alpha_j(k) \left[\frac{5RT}{2\mu_j} + \frac{\alpha_j(k) E_j(k)}{mj} \right] = \sum_{j=1}^N H_j(T) \alpha_j \\ H_j(T) &= \frac{5RT}{2\mu_j} + \sum_{k=0}^M \frac{E_j(k) z_j(k) s_j(k)}{mj} \end{aligned} \tag{3.1}$$

Здесь $H_j(T)$ — удельная энталпия газа кластеров j -го размера. Выражение для $H_j(T)$ найдем, воспользовавшись полученным в [11] соотношением для свободной энергии кластера F_j и известным термодинамическим соотношением для энталпии газа кластеров на молекулу D_j

$$F_j = j(F_1 + \gamma_1 - \epsilon_j) + k_B T b_j^{n_b} + \beta \ln j + \gamma_2 \tag{3.2}$$

$$D_j = k_B T + F_j - T \partial F_j / \partial T. \tag{3.3}$$

Здесь $\epsilon_j = \epsilon_\infty (1 - \chi_j)$ — энергия связи на молекулу в кластере, ϵ_∞ — аналогичная величина в макрокапле, $\chi_j \Rightarrow 0$ при $j \Rightarrow \infty$. Подставляя (3.2) в (3.3) и вводя теплоту конденсации на молекулу $L_j = D_{j-1,i} + D_{1,i} - D_{j,i}$, где $D_{j,i} =$

$=F_j - T \partial F_j / \partial T$, находим

$$D_j = {}^5/{}_2 k_B T + j D_{1,i} - \sum_{i=2}^j L_i, \quad j=2 \dots N \quad (3.4)$$

$$h_j(T) = \frac{5RT}{2\mu_j} + \frac{D_{1,i}}{\mu_1} - L_j^*, \quad L_j^* = \sum_{i=2}^j \frac{L_i}{m_j} \simeq L$$

Таким образом, (3.1) можно окончательно записать как

$$h = \frac{5}{2} RT \sum_{j=1}^N \frac{\alpha_j}{\mu_j} + \frac{D_{1,i}}{\mu_1} - \sum_{j=2}^N L \alpha_j = h_1 + \frac{5}{2} RT \Phi_N - L(1-\alpha_1), \quad \Phi_N = \sum_{j=2}^N \frac{\alpha_j}{\mu_j} \quad (3.5)$$

Что касается величины Φ_N , то, основываясь на полученных выше квазистационарных решениях для f_j , легко показать, что при $r < j_* \alpha_j / \mu_j \ll \alpha_1 / \mu_1$, $j=2 \dots N$ ($j_* = 8j_+/27$ – классический критический размер). При $j_* < r$ существенный вклад в эту сумму могут дать члены с номерами, близкими к r . Поэтому всюду в дальнейшем будем приближенно считать $\Phi_N \approx \Phi_r$.

С учетом сделанных предположений система (2.4) расщепляется на две, поскольку уравнения для Q , G , E и α_1 могут быть решены независимо от уравнений для f_j , $j=i+1 \dots N-1$. Если же интересоваться интегральными характеристиками течения, а не видом функции распределения кластеров по размерам для больших j , то уравнения для f_j можно вообще исключить из рассмотрения.

Проанализируем систему уравнений для Q , G , E , α_1 . Для исследования поведения решения удобно вернуться к переменным T , P , ρ , u . Тогда из (2.4) с учетом (1.2) после некоторых преобразований имеем

$$(M^2 - 1) \frac{d \ln u}{d\xi} = \frac{d \ln F}{d\xi} - v \Omega, \quad (M^2 - 1) \frac{d \ln p}{d\xi} = -M^2 \frac{d \ln F}{d\xi} + v \Omega \quad (3.6)$$

$$(M^2 - 1) \frac{d \ln P}{d\xi} = \frac{\rho u^2}{P} \left[\frac{d \ln F}{d\xi} - v \Omega \right]$$

$$(M^2 - 1) \frac{d \ln T}{d\xi} = \frac{u^2}{\sigma} \frac{d \ln F}{d\xi} + \left[\frac{u^2}{\sigma} \left(1 - \frac{L \alpha_1}{\sigma} \right) - \frac{L \alpha_1 (M^2 - 1)}{\sigma} \right] \Omega$$

$$\frac{d \ln \alpha_1}{d\xi} = \Omega = - \frac{S^{x+1} \beta_x K_{x+1}^* B}{9(x-1)^{v/3} \lambda}, \quad v = 1 - L \alpha_1 \left[\frac{5P}{2\rho} + \frac{T}{\mu_1} \frac{\partial h_{1,i}}{\partial T} \right]^{-1}$$

$$\sigma = u^2 \left(\frac{\rho u^2}{P} - M^2 \right)^{-1} = \left(\frac{5P}{2\rho} + \frac{T}{\mu_1} \frac{\partial h_{1,i}}{\partial T} \right) M = \frac{u}{\alpha}$$

$$a^2 = \frac{\partial P}{\partial \rho} \Big|_{s,\alpha} = \frac{P}{\rho} \sum_{i=1}^r \alpha_i \frac{\partial h_i}{\partial T} - \left[\sum_{i=1}^r \left(\alpha_i \frac{\partial h_i}{\partial T} - R \frac{\alpha_i}{\mu_i} \right) \right]^{-1}$$

где M – число Маха, а a – замороженная скорость звука.

Анализ (3.6) позволяет дать следующую качественную картину процесса конденсации. Пусть в некотором сечении исследуемого сверхзвукового течения реализуются параметры насыщения ($S=1$), а число Маха не слишком велико. В этом случае $j_+ = x \rightarrow \infty$, а $\Omega = 0$, поэтому $\alpha_1 = \text{const}$. В силу этого P , ρ , u и T меняются адиабатически вдоль трубы тока, а S растет до тех пор, пока Ω не станет величиной порядка $d \ln F / d\xi$. С этого момента выделение теплоты конденсации будет существенно влиять на па-

раметры потока, в силу чего они будут заметно отличаться от соответствующих адиабатических значений. Реально на поведение, например, температуры влияние конденсации станет заметным уже тогда, когда в соотношении

$$\delta \frac{d \ln F}{d \xi} = \left[1 - \frac{L\alpha_1}{\sigma} - (M^2 - 1) \frac{L\alpha_1}{u^2} \right] \Omega \quad (3.7)$$

величина δ станет порядка 0,1–0,3.

Возможны два механизма релаксации параметров течения от адиабатических значений к равновесным: 1) выделение теплоты конденсации так влияет на параметры потока, что они отклоняются от соответствующих адиабатических; 2) при адиабатическом изменении параметров достигается условие $j_+ = r$ и происходит скачок конденсации. В первом случае в основу определения точки Вильсона можно положить, например, соотношение (3.7), во втором параметры в точке Вильсона находятся из условия $j_+ = r$.

Чтобы ответить на вопрос, какой из механизмов будет реализовываться в конкретном течении, перепишем (3.7) в другом виде с учетом определения Ω , данного в (3.6)

$$x \ln S - bx^{\eta_b} = \ln \theta, \quad x = 1 + \max(r, j_+/27) \quad (3.8)$$

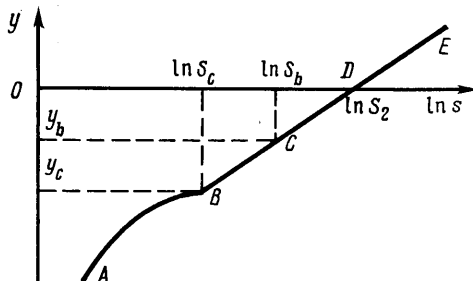
$$\theta = 9\delta x^{\eta_b} u \left\{ SbA_x K\alpha_c \left[\frac{L(\kappa M^2 - 1)}{\kappa R T M^2} - 1 \right] \right\}^{-1} \frac{d \ln F}{d \xi}$$

Здесь κ — показатель адиабаты, α_c — коэффициент конденсации, A_x — множитель, появляющийся в выражении для равновесной функции распределения и приведенный в [11].

Построим теперь график функции $y = x \ln S - bx^{\eta_b} = \ln \theta$ в зависимости от $\ln S$ (см. фиг. 1). При больших S $j_+/27 = (b/\ln S)^3 < r$, поэтому $x \approx r$ и $y = y(\ln S) = r \ln S - br^{\eta_b}$. При малых S $j_+/27 > r$, поэтому $x \approx (b/\ln S)^3$ и $y = y(\ln S) = -2b/27 \ln^2 S$. Точка, в которой происходит излом графика, определяется из условия $j_+/27 = r$, откуда находим соответствующее значение пересыщения $S_c = \exp(b/3r^{\eta_b})$. Теперь, задаваясь различными значениями θ , можно графически решить уравнение (3.8) и определить значение пересыщения S , являющееся его корнем. При этом будем считать, что зависимость $\theta = \theta(S)$ — слабая и в нулевом приближении ее можно не учитывать.

Таким образом, задаваясь значениями T , u , $d \ln F/d\xi$, κ , δ , можно из формулы, данной после (3.8), вычислить θ . Затем, отмечая это значение на оси ординат на фиг. 1 и проводя через него прямую, параллельную оси абсцисс, находим пересечение этой прямой с графиком функции $y = y(\ln S)$. Определяя абсциссу точки пересечения, находим значение $\ln S$, являющееся корнем (3.8).

Все эти построения проделаны для того, чтобы сравнить исковую величину $\ln S_1$ с аналогичной, определяемой из условия $j_+ = r$ или $\ln S_2 = B/r^{\eta_b}$. Теперь ясно, что если $S_1 < S_2$, то реализуется первый механизм конденсации (назовем его условно «тепловой»). Действительно, в процессе адиабатического расширения в метастабильной области существования газовой фазы пересыщение S монотонно растет от единицы вверх, поэтому условие $S = S_1$ достигается раньше, чем условие $S = S_2$. Если же $S_2 < S_1$,



Фиг. 1

то реализуется второй механизм конденсации (его условно назовем «кинетический»).

Входящие в определение θ значения параметров T , u , $d \ln F/d\xi$ должны браться в точке Вильсона и неизвестны заранее. Однако, как показывают расчеты, величина θ слабо меняется на участке от точки росы до точки Вильсона. Это позволяет предсказывать положение точки Вильсона и величину критического пересыщения по значению θ , вычисленному в точке росы.

Изложив общую схему определения механизма отклонения параметров течения от адиабатических и нахождения критического пересыщения в точке Вильсона, перейдем к более подробному рассмотрению этих вопросов.

Поскольку точке излома графика $y=y(\ln S)$ на фиг. 1 $\ln S_c=b/3r^{1/3}$ соответствует значение $y_c=-2br^{2/3}/3$, то ясно, что при $\ln \theta < y_c$ реализуется первый механизм (область AB на фиг. 1): в этом случае уменьшение пересыщения и отклонение параметров потока от адиабатических вследствие выделения тепла конденсации начинается раньше, чем достигается условие $j_+=r$. В данной ситуации критическое пересыщение находится из условия

$$\ln S_1 = \left[\frac{2b^3}{27 \ln \theta^{-1}} \right]^{-1}$$

Поскольку значения θ , b и r определяются по параметрам в точке росы, то такой подход позволяет заранее приближенно предсказать величину критического пересыщения и, следовательно, положение точки Вильсона.

Как следует из разд. 2 и результатов работы [9] функция распределения кластеров по размерам может быть монотонной или иметь экстремумы. Последний случай реализуется, если величина $j_{*,cl}=(2b/3 \ln S)^3$ – классический критический размер – в процессе адиабатического расширения становится меньше r .

Таким образом, характерное значение пересыщения, при котором унимодальный вид функции распределения меняется на бимодальный, определяется соотношением $\ln S_b=2b/3r^{1/3}$. При $S>S_b$ функция распределения кластеров по размерам бимодальная (максимумы при $j=1$ и r , минимум при $j_{*,cl}=r$ (см. фиг. 2)); при $S<S_b$ – унимодальная (максимум при $j=1$). Для рассмотренного нами режима (область AB на фиг. 1 – режим 1) $\ln S < b/3r^{1/3} < 2b/3r^{1/3} = \ln S_b$, поэтому функция распределения кластеров по размерам не имеет экстремумов.

Поскольку в области AB $\ln S < b/3r^{1/3} < b/r^{1/3}$ или $r < (b/\ln S)^3 = j_+$, то в силу результатов разд. 2 S всегда является медленной переменной.

Если $\ln S > -2br^{2/3}/3 = y_c$, то $x=1+\max(r, j_+/27) \approx r+1$. Тогда значение S , являющееся корнем (3.8), можно представить в явном виде

$$\ln S_1 = br^{-1/3} \left[1 + \frac{\ln \theta}{br^{2/3}} \right] = \left[1 + \frac{\ln \theta}{br^{2/3}} \right] \ln S_2 \quad (3.9)$$

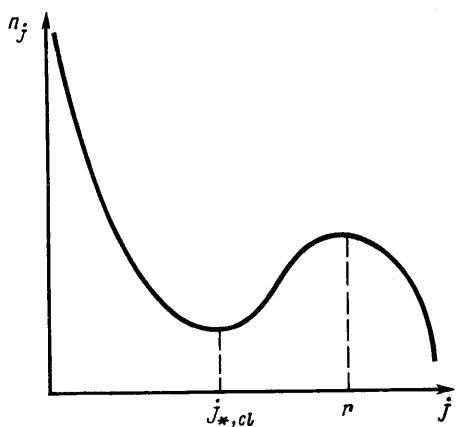
Напомним, что «кинетический» механизм реализуется при $S>S_2$ (или $y=\ln \theta > 0$), поэтому при $\ln \theta < 0$ из (3.9) следует $S_1 < S_2$ и реализуется не «кинетический», а «тепловой» механизм конденсации. При этом S всегда является медленной переменной, а критическое пересыщение в точке Вильсона определяется из (3.9). Если дополнительно $-2br^{2/3}/3 < \ln \theta < -br^{2/3}/3 = y_c$, то функция распределения кластеров по размерам не имеет экстремумов, поскольку из (3.9) тогда следует $\ln S_1 < -2b/3r^{1/3} = \ln S_b$ (область BC на фиг. 1). Следовательно, этот случай полностью примыкает к рассмотренному выше и может быть включен в него.

Если же $\ln \theta > y_c$, то $\ln S_1 > \ln S_b$, поэтому функция распределения становится бимодальной (область CD на фиг. 1 – «тепловой» режим конденсации с бимодальной функцией распределения – режим 2).

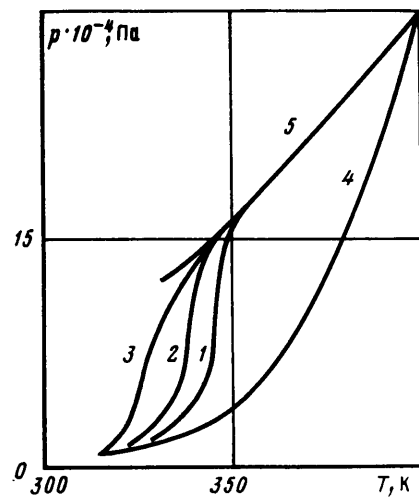
Остался нерассмотренным лишь один случай. Если окажется, что $\ln \theta > 0$, то реализуется «кинетический» режим конденсации. Функция распределения имеет характерные экстремумы в области $j=1$, $j=j_{*,cl}$, $j=r$ (область DE на фиг. 1). При этом в точке $S=S_2$ пересыщение S становится быстрой переменной и происходит скачок конденсации (режим 3).

В реальных установках, как правило, повышение температуры и давления газа связано и с увеличением $ud \ln F/d\xi$, а следовательно, и θ , поэтому при высоких P и T насыщения (P_s и T_s) в точке Вильсона реализуется условие $j_+=r$ (режим 3). При низких T_s и P_s и умеренных градиентах могут иметь место и другие описанные выше ситуации.

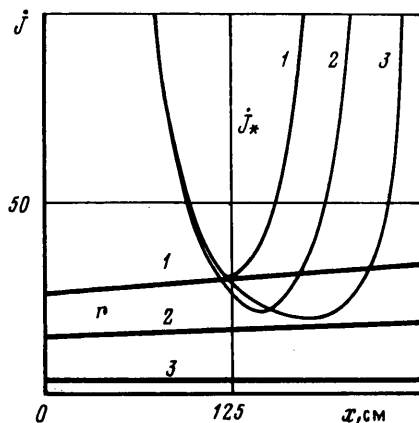
На фиг. 3 приведена $P-T$ -диаграмма расширения водяного пара в коническом сверхзвуковом сопле с углом полураствора 5° , полученная из численного решения системы (3.6). Начальные параметры в исходном сечении: $T=400$ К, $P=P_s(T)$, $\alpha_j=\alpha_{je}$. Здесь 4 – кривая равновесия фаз, 5 – адиабата, кривые 1, 2, 3 соответствуют различным значениям параметра r , приведенным на фиг. 4 (вообще говоря, r явля-



Фиг. 2



Фиг. 3



Фиг. 4

ется функцией P и T , но для определения явного вида этой зависимости требуется вычислить константы E_j и R_j ; здесь же для простоты r считается параметром и моделируется линейной функцией температуры). Видно, что при малых r достигаются большие пересыщения, а $j_+ > r$, в силу чего распределение кластеров по размерам не имеет экстремумов. При больших r реализуются меньшие пересыщения, и в окрестности точки Вильсона $j_{*,cl} < r$. При этом распределение кластеров имеет вид, приведенный на фиг. 2, и качественно соответствует экспериментально наблюдаемой картине [6].

Из аналитических оценок и численных расчетов следует, что в случае «теплового» механизма конденсации протекает без локального увеличения температуры и давления (т. е. $d \ln T/d\xi < 0$ и $d \ln P/d\xi < 0$ для всех ξ) (см. фиг. 3). При этом, конечно, в зоне развитой конденсации $d \ln T/d\xi > -d \ln T/d\xi|_{ad}$, где $d \ln T/d\xi|_{ad}$ — значение градиента температуры в той же точке ξ при адиабатическом расширении. Этот вывод противоречит результатам расчетов, выполненных с использованием классической теории. В этих расчетах в области за точкой Вильсона всегда реализуется условие $d \ln P/d\xi > 0$, хотя значение $d \ln P/d\xi$ может быть как больше, так и меньше нуля в зависимости от значений макропараметров в точке росы. Как правило, в экспериментах измеряют лишь распределение давления вдоль оси струи или сопла, а не распределение температуры, в силу чего трудно установить, какая из теорий ближе к истине. Для выяснения этого факта было бы интересно провести экспериментальные исследования про-

десса конденсации, в которых в точке росы $\ln \theta < 0$ («тепловой» механизм), а распределение температуры регистрировалось бы непосредственно в эксперименте, а не вычислялось опосредованно. Пока же в силу отсутствия таких данных имеет смысл сравнивать обе теории на примере других экспериментально установленных фактов [10].

СПИСОК ЛИТЕРАТУРЫ

1. Баханов В. П., Буйков М. В. Замкнутая система уравнений двухфазной газодинамики при наличии химических реакций и квазистационарной гомогенной конденсации // Тр. Укр. науч.-исслед. гидрометеорол. ин-та. 1971. Вып. 99. С. 21–24.
2. Kotake S., Glass I. I. Flows with nucleation and condensation. // Progr. Aerospace Sci. 1981. V. 19. № 2–4. P. 129–196.
3. Чуканов В. Н., Кулигин А. П. Гомогенная конденсация паров легкой и тяжелой воды при давлениях до 2 МПа // Теплофизика высоких температур. 1987. Т. 25. № 1. С. 70–77.
4. Itkin A. L., Pirumov U. G., Ryjov Yu. A. Modified homogeneous condensation model. Comparison of theoretical and experimental results // Proc. 14th Int. RGD Symp. Tsukuba. 1984. Tokyo: Tokyo Univ. Press, 1984. P. 937–943.
5. Dawson D. B., Willson E. J., Hill P. G., Russel K. C. Nucleation of supersaturated vapors in nozzles. II. C_6H_6 , $CHCl_3$, CCl_3F and C_2H_5OH . // J. Chem. Phys. 1969. V. 51. № 12. P. 5389–5397.
6. Yamada I., Usui H., Takagi T. The formation and kinetics of ionized cluster beams // Z. Phys. D. Atoms, Molecules and Clusters. 1986. V. 1. № 3. P. 137–143.
7. Богданов А. В., Горбачев Ю. Е., Дубровский Г. В. и др. Квазистационарные решения квазихимической модели конденсации. 1. Пространственно однородный случай: Препринт № 1265. Л.: ФТИ им. Иоффе АН СССР, 1988. 30 с.
8. Богданов А. В., Горбачев Ю. Е., Дубровский Г. В. и др. Квазистационарные решения квазихимической модели конденсации. 2. Пространственно неоднородный случай: Препринт № 1266. Л.: ФТИ им. Иоффе АН СССР, 1988. 30 с.
9. Иткин А. Л., Колесниченко Е. Г. О роли неравновесности в кинетике конденсации // Докл. АН СССР. 1990. Т. 311. № 3. С. 569–571.
10. Иткин А. Л., Колесниченко Е. Г. О причинах влияния газа-носителя на кинетику конденсации // Письма в ЖТФ. 1989. Т. 15. Вып. 7. С. 49–52.
11. Богданов А. В., Горбачев Ю. Е., Дубровский Г. В. и др. Аналитическое исследование равновесных и квазистационарных решений квазихимической модели конденсации // Хим. физика. 1989. Т. 8. № 5. С. 677–686.
12. Мищенко Е. Ф., Розов Н. Х. Дифференциальные уравнения с малым параметром и релаксационные колебания. М.: Наука, 1975. 247 с.

Москва

Поступила в редакцию
11.IV.1989